

水热法制备锂电池正极材料 o-LiMnO_2 及其碳纳米管改性

刘立虎 陈述林 刘凡 向全军 冯雄汉 邱国红*

(华中农业大学资源与环境学院, 武汉 430070)

摘要: MnCl_2 、 LiOH 、EDTA 和 NaClO 混合溶液一步水热反应合成锂离子电池正极材料正交 LiMnO_2 (o-LiMnO_2), 进一步在反应体系中添加碳纳米管(CNTs)制备碳纳米管改性的 o-LiMnO_2 ($\text{o-LiMnO}_2/\text{CNTs}$ 复合材料)。采用 X-射线衍射和扫描/透射电镜表征产物的晶体结构、微观形貌, 循环伏安法和恒流充放电测试得活性材料电化学性能。结果表明, 体系中 $n_{\text{Li}}:n_{\text{Mn}}$ 控制为 8:1, 在 180 ℃ 反应 24 h 得到目标产物; 反应体系中添加 CNTs 形成复合材料可降低 o-LiMnO_2 颗粒粒径、提高导电率。 o-LiMnO_2 首次放电容量为 76.0 $\text{mAh} \cdot \text{g}^{-1}$, 100 周后容量保持为 124.1 $\text{mAh} \cdot \text{g}^{-1}$; $\text{o-LiMnO}_2/\text{CNTs}$ 复合材料首次及 100 周放电容量(基于 $\text{o-LiMnO}_2/\text{CNTs}$ 的质量)分别高达 94.1 和 159.8 $\text{mAh} \cdot \text{g}^{-1}$ 。

关键词: 锂离子电池; 正极材料; 正交 LiMnO_2 ; 水热法; 碳纳米管

中图分类号: O611.4 文献标识码: A 文章编号: 1001-4861(2015)04-0703-07

DOI: 10.11862/CJIC.2015.100

Hydrothermal Preparation and Carbon Nanotube Modification of o-LiMnO_2 Cathode Materials for Lithium Battery

LIU Li-Hu CHEN Shu-Lin LIU Fan XIANG Quan-Jun FENG Xiong-Han QIU Guo-Hong*

(College of Resources and Environment, Huazhong Agricultural University, Hubei Province, Wuhan, 430070, China)

Abstract: Rechargeable lithium battery cathode materials orthorhombic LiMnO_2 (o-LiMnO_2) was directly synthesized using hydrothermal reaction of MnCl_2 , LiOH , EDTA and NaClO solutions, and carbon nanotube modified o-LiMnO_2 ($\text{o-LiMnO}_2/\text{CNTs}$ composite) was further obtained by adding CNTs into the reaction system. The as-prepared samples were characterized by X-ray diffractometer and SEM/TEM, and their electrochemical performance was tested using constant current charge/discharge experiment and cyclic voltammetry. o-LiMnO_2 was formed when hydrothermal reaction was performed at 180 ℃ for 24 h with $\text{LiOH}/\text{MnCl}_2$ molar ratio as low as 8:1. o-LiMnO_2 exhibited the initial discharge capacity of 76.0 $\text{mAh} \cdot \text{g}^{-1}$, and cycling capacity of 124.1 $\text{mAh} \cdot \text{g}^{-1}$ after 100 cycles. The formation of $\text{o-LiMnO}_2/\text{CNTs}$ composite decreased the particle size and electrochemical resistivity of single o-LiMnO_2 . The initial discharge capacity was 94.1 $\text{mAh} \cdot \text{g}^{-1}$, and increased and then kept stable after 45 cycles, and the cycling capacity was 159.8 $\text{mAh} \cdot \text{g}^{-1}$ after 100 cycles. This work facilitates the preparation and electrochemical performance improvement of o-LiMnO_2 cathode materials for rechargeable lithium batteries.

Key words: lithium battery; cathode material; orthorhombic LiMnO_2 ; hydrothermal reaction; carbon nanotube

收稿日期: 2014-09-30。收修改稿日期: 2014-12-29。

基金项目: 国家自然科学基金(Nos.41171375, 20807019)、教育部新世纪优秀人才支持计划(No.NCET-12-0862)、霍英东教育基金会高等院校青年教师基金(No.141024)、湖北省杰出青年人才基金(No. 2012FFA031)和中央高校基本科研业务费专项资金(Nos. 2013PY029, 2011PY030)。

*通讯联系人。E-mail: qiuugh@mail.hzau.edu.cn

锂离子电池以其高电压、高容量等优点而备受关注，在电动汽车、电子设备、军事和太空等领域有着广泛应用^[1]。层状结构的正交 LiMnO_2 和尖晶石型 LiMn_2O_4 具有资源丰富、成本低、环境友好和高倍率容量等特性，有望成为二次锂电池新一代正极材料，而前者理论容量近乎后者的 2 倍，且循环稳定性好而更具发展潜力。目前，制备 o-LiMnO_2 的方法主要有高温固相法^[2-5]、溶胶-凝胶法^[6]、离子交换法^[7]和水热法^[8-10]等。上述方法多为先合成不同微结构的前驱体，如 Mn_2O_3 、 MnCO_3 、 NaMnO_2 和 $\gamma\text{-MnOOH}$ 等，进一步转化生成 o-LiMnO_2 ^[2-5,8-10]。 Mn_2O_3 可采用高温固相分解 MnCO_3 或纯相二氧化锰而得到，制备过程需惰性气体保护^[3,5]，而多步及高温反应增加了能耗与成本。近来，采用 KMnO_4 、 MnCl_2 和 LiOH 溶液一步水热反应制备得到 o-LiMnO_2 纳米颗粒，反应体系中 $n_{\text{Li}}/n_{\text{Mn}}$ 高达 30，锂源消耗量大^[11]。以 Mn_2O_3 为前驱体的水热反应体系中添加有机溶剂延缓反应速度，可有效降低 $n_{\text{Li}}/n_{\text{Mn}}$ 而制备 o-LiMnO_2 ^[12]。如能降低反应速率，则可望用低浓度 LiOH 一步水热反应制备 o-LiMnO_2 ，更能有效简化工序和降低生产成本。

一步水热反应难以合成 o-LiMnO_2 ，主要原因可能为其进一步氧化生成高价态锰氧化物，如 Li_2MnO_3 ，因而氧化剂的选择较为重要^[13]。我们前期研究发现， NaClO 作为氧化剂可生成不同价态的锰(Mn(IV/III/II))矿物，如红磷锰矿和 $\text{MnPO}_4 \cdot \text{H}_2\text{O}$ ^[14-15]；在反应体系中添加配位剂可有效降低 Mn(II) 氧化速率^[16]。基于此，本工作采用 NaClO 为氧化剂，以 MnCl_2 和 LiOH 分别为二价锰源和锂源，添加乙二胺四乙酸四钠(EDTA)为配体，一步水热合成 o-LiMnO_2 ；进一步在反应体系中添加碳纳米管，形成 $\text{o-LiMnO}_2/\text{CNTs}$ 复合材料；对所得产物晶体结构和形貌等理化性质进行表征，并对其电化学储锂性能进行了比较。

1 实验方法

1.1 o-LiMnO_2 的制备

称取 0.989 g $\text{MnCl}_2 \cdot 4\text{H}_2\text{O}$ (AR)、2.259 g EDTA(AR)，溶解于一定量二次蒸馏水中；称取 1.678 g $\text{LiOH} \cdot \text{H}_2\text{O}$ (AR)溶解于 7.5 mL NaClO 溶液(有效氯含量不小于 5.2%)。将两溶液快速混合，去离子水调节总体积为 50 mL，然后转入有聚四氟乙烯内衬的高压釜中在 180 ℃反应 24 h。所得悬浊液离心分离，直至上清液电导约为 20 $\mu\text{S} \cdot \text{cm}^{-1}$ ，再经无水乙醇超

声分散后再次离心分离固相产物，最后 60 ℃干燥 24 h，得到 o-LiMnO_2 。

在上述 MnCl_2 与 EDTA 的混合溶液中加入 0.1 g 碳纳米管(管径：30~50 nm)，其他条件不变，得到 $\text{o-LiMnO}_2/\text{CNTs}$ 复合材料。

1.2 理化性质表征

粉末 X-射线衍射仪(Bruker D8 ADVANCE)分析产物晶体结构，采用 $\text{Cu K}\alpha(\lambda=0.15406 \text{ nm})$ ，管压 40 kV，管流 40 mA，步长 0.02°，扫描速度为 $4^\circ \cdot \text{min}^{-1}$ 。傅里叶变换红外光谱仪(FTIR, Nicolet Avatar 300)解析碳纳米管及合成产物的特征官能团。热重分析(TG, Diamond TG, PerkinElmer Instruments)测定产物碳含量，测试条件为空气氛围，升温速率为 $10^\circ \text{C} \cdot \text{min}^{-1}$ 。透射电镜(TEM, H-7650, Hitachi)和扫描电镜(SEM, JSM-6390/LV, 日本电子)表征产物微观形貌。

1.3 电化学性能测试

经 120 ℃热处理 12 h 后的活性物质、导电剂乙炔黑和 PTFE 乳液(60%)按质量比 75:15:10 称量，活性物质和乙炔黑研磨 30 min 使之充分混合均匀后转移至小烧杯中，加入 PTFE 乳液，用异丙醇分散，搅拌混合均匀后，擀制成厚度约 0.1 mm 薄膜，在 110 ℃下真空干燥 12 h 后切割成 0.4 cm^2 的圆形膜片($\sim 3 \text{ mg}$)，膜片压在铝网制成电池正极片。对电极与参比电极均为金属锂片。电解液为 $1 \text{ mol} \cdot \text{L}^{-1}$ $\text{LiClO}_4/\text{EC+EMC+DMC}$ (体积比为 1:1:1)，隔膜为 Celgard 2300 聚丙烯微孔膜。在氩气气氛的手套箱中组装 2032 扣式电池，以电流密度为 $100 \text{ mA} \cdot \text{g}^{-1}$ ，电位窗口为 2.4~4.3 V(vs. Li^+/Li)进行恒流充放电测试(高精度电池测试仪，深圳新威尔电子有限公司)。采用电化学工作站 CHI660B(上海辰华仪器有限公司)表征活性物质的循环伏安行为(扫速为 $0.1 \text{ mV} \cdot \text{s}^{-1}$)和反应过程交流阻抗分析。

2 结果与讨论

2.1 o-LiMnO_2 的制备及改性

图 1 所示为 $0.1 \text{ mol} \cdot \text{L}^{-1}$ MnCl_2 、 $0.1 \text{ mol} \cdot \text{L}^{-1}$ EDTA、 $0.8 \text{ mol} \cdot \text{L}^{-1}$ LiOH 和 7.5 mL NaClO 溶液在 180 ℃水热反应 24 h 所得产物 XRD 图，结果表明，产物为纯相 o-LiMnO_2 (JCPDS: 86-0352)。本方法一步合成目标产物，较先前报道合成锰氧化物中间体的工艺更为简单^[3-5,8-9,12]。在合成实验中，系统考察了 EDTA、和温度对产物组分的影响。

在此反应过程中，添加剂 EDTA 与 MnCl_2 先反

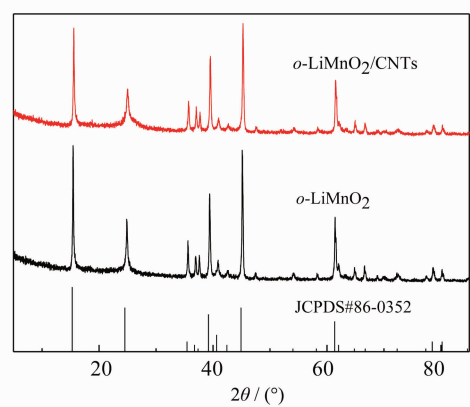


图 1 α -LiMnO₂ 和 α -LiMnO₂/CNTs 复合材料 XRD 图
Fig.1 XRD patterns of α -LiMnO₂ and α -LiMnO₂/CNTs

应,形成配合态 Mn²⁺,利于生成 α -LiMnO₂。为证实配位剂在反应中的作用,在水热体系中不添加 EDTA,相同条件下所得产物为 Mn₃O₄、Li₂MnO₃ 和 α -LiMnO₂ 混合物。纯相目标产物难以得到,可能是强碱溶液中形成的 Mn(OH)₂ 沉淀转化为 Mn₃O₄,在热液条件下,在其表面生成 LiMnO₂ 和 α -LiMnO₂,阻碍了反应的进一步发生;而添加 EDTA,可有效降低生成 Mn₃O₄ 的速度,利于形成目标产物。在制备不同结晶度锰矿过程中,不同碳链长度的配位剂可有效调控水热反应速率^[16]。降低反应温度,主要得到 Li₂MnO₃、LiMn₂O₄ 和 α -LiMnO₂ 的混合物。前期研究结果也表明,添加剂 EDTA 和适当提高温度是合成 α -LiMnO₂ 关键^[17]。

为证实所得产物为纯相 α -LiMnO₂ 和 α -LiMnO₂/CNTs 复合材料,对所得产物及商业化碳纳米管进行傅里叶变换红外光谱分析。如图 2 所示,吸收峰波段

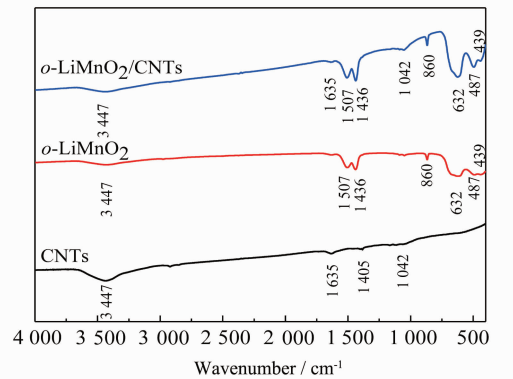


图 2 o-LiMnO₂、CNTs 和 o-LiMnO₂/CNTs 复合材料红外谱图
Fig.2 FTIR patterns of CNTs, α -LiMnO₂, and α -LiMnO₂/CNTs composite

为 3 447 和 1 635 cm⁻¹ 分别为羟基伸缩振动和 O-H 面内弯曲振动吸收峰,也即商业化碳纳米管和合成的 α -LiMnO₂ 及其改性产物均存在表面吸附水。吸收峰 1 405 和 1 042 cm⁻¹ 为碳纳米管表面不同化学环境中 C-O 键吸收峰,与文献报道碳纳米管红外谱峰基本一致^[18]。

吸收谱峰 487 和 632 cm⁻¹ 分别为 α -LiMnO₂ 晶体结构中 Mn-O 键非对称和对称伸缩振动吸收峰^[2]。在 439 cm⁻¹ 处有小的吸收峰主要归属为 LiO₆ 八面体^[19-20],1 507、1 436 和 860 cm⁻¹ 处为 Li₂CO₃ 吸收峰,原因可能为 LiOH 与 CO₂ 反应生成^[21],也有可能为少量 EDTA 被 NaClO 被氧化生成 CO₃²⁻。其含量低,XRD 未能检测,此工作中未考虑杂相对电化学性能的影响。在 α -LiMnO₂/CNTs 复合材料的红外谱图中,出现了商业化碳纳米管和纯相 α -LiMnO₂ 特征吸收峰,进一步说明所得复合材料兼有 α -LiMnO₂ 和 CNTs 两相组分。

为确定电极材料 α -LiMnO₂/CNTs 中 α -LiMnO₂ 的含量,对产物进行热重分析,如图 3 所示,在 200~375 °C 区间 α -LiMnO₂ 的 TG 曲线上升 6.7%,经计算是因为 α -LiMnO₂ 与空气中氧气反应生成 Li_{1.6}Mn_{1.6}O₄(理论上升 6.3%),这与先前报道一致^[22],在 375~600 °C 时,样品失重为碳纳米管的完全氧化,由此可知, α -LiMnO₂/CNTs 中 α -LiMnO₂ 的含量为 83.5%。

图 4a、b 所示为 α -LiMnO₂ 和 α -LiMnO₂/CNTs 复合材料的扫描电镜照片,可见, α -LiMnO₂ 的粒径分布主要为 50~200 nm, α -LiMnO₂/CNTs 复合材料中 CNTs 均匀分布;从透射电镜也可以看出(图 4c) α -LiMnO₂ 与碳纳米管结合较为紧密,且颗粒粒径有减小的趋势;而仅掺混的产物碳纳米管与 α -LiMnO₂ 颗

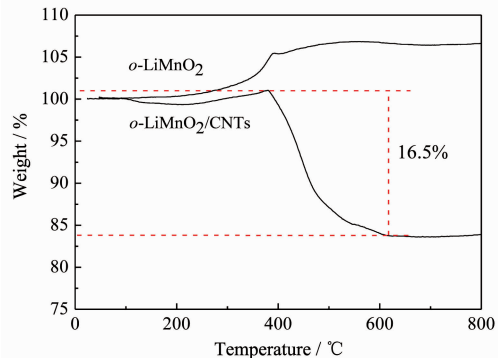


图 3 o-LiMnO₂ 和 o-LiMnO₂/CNTs 复合材料的热重曲线
Fig.3 TG curves of α -LiMnO₂ and α -LiMnO₂/CNTs composite

Fig.3 TG curves of α -LiMnO₂ and α -LiMnO₂/CNTs composite

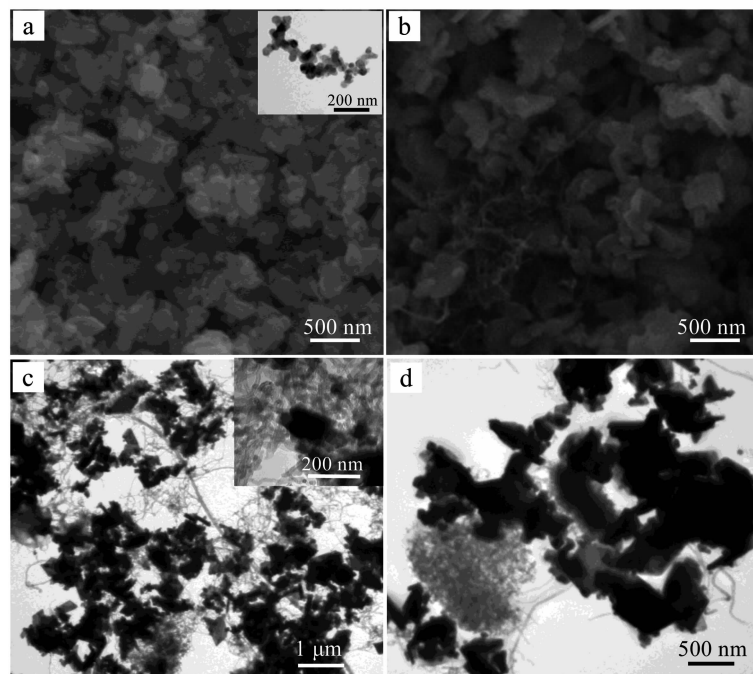


图 4 $o\text{-LiMnO}_2$ (a) $o\text{-LiMnO}_2/\text{CNTs}$ 复合材料(b)SEM 照片及 $o\text{-LiMnO}_2/\text{CNTs}$ 复合材料(c) $o\text{-LiMnO}_2$ 掺混 CNTs(d)TEM 照片
Fig.4 SEM images of $o\text{-LiMnO}_2$ (a) and $o\text{-LiMnO}_2/\text{CNTs}$ (b), and TEM images of $o\text{-LiMnO}_2/\text{CNTs}$ (c) and $o\text{-LiMnO}_2$ mixed with CNTs (d)

粒分布不均,且较为松散(图 4d)。另外掺混的产物 $o\text{-LiMnO}_2$ 大颗粒粒径主要在 200~400 nm 范围,采用水热法制备得到碳纳米管负载的 $o\text{-LiMnO}_2$ 200~400 nm 的大颗粒变少,100~200 nm 的颗粒增多,这与 XRD 图谱中 $o\text{-LiMnO}_2/\text{CNTs}$ 较纯相 $o\text{-LiMnO}_2$ 衍射峰强有减弱趋势相一致。

2.2 电化学性能

图 5a 所示为 $o\text{-LiMnO}_2$ 和 $o\text{-LiMnO}_2/\text{CNTs}$ 复合材料的充放电循环稳定性曲线。纯相 $o\text{-LiMnO}_2$ 首次

放电容量为 $76.0 \text{ mAh}\cdot\text{g}^{-1}$,循环至 25 周后出现最大值为 $139.1 \text{ mAh}\cdot\text{g}^{-1}$,而后趋于稳定,100 周循环容量保持为 $124.1 \text{ mAh}\cdot\text{g}^{-1}$ 。 $o\text{-LiMnO}_2/\text{CNTs}$ 复合材料首次放电容量增加至 $94.1 \text{ mAh}\cdot\text{g}^{-1}$,循环至 45 周后出现最大值为 $181.4 \text{ mAh}\cdot\text{g}^{-1}$,100 周循环容量保持为 $159.8 \text{ mAh}\cdot\text{g}^{-1}$ 。对比可见,碳纳米管改性能显著提高 $o\text{-LiMnO}_2/\text{CNTs}$ 放电容量,主要原因因为 $o\text{-LiMnO}_2$ 颗粒间表面电阻降低,图 5b 为 $o\text{-LiMnO}_2/\text{CNTs}$ 的充放电的库伦效率图,第 1 周效率远低于 100%,说明充

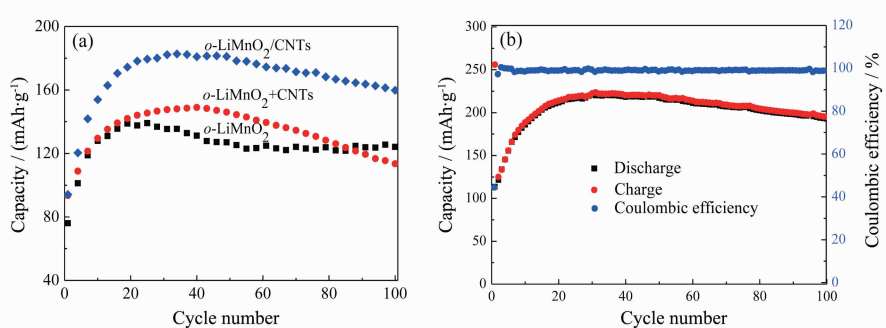


图 5 $o\text{-LiMnO}_2$ 、 $o\text{-LiMnO}_2/\text{CNTs}$ 复合材料及 $o\text{-LiMnO}_2$ 与 CNTs 混合物($o\text{-LiMnO}_2+\text{CNTs}$)前 100 次放电容量图(a)和 $o\text{-LiMnO}_2/\text{CNTs}$ 的库伦效率图(b)

Fig.5 (a) The discharge capacity of $o\text{-LiMnO}_2$, $o\text{-LiMnO}_2/\text{CNTs}$ composite, and a mixture of $o\text{-LiMnO}_2$ and CNTs during 100 cycles, and (b) the coulombic efficiency of $o\text{-LiMnO}_2/\text{CNTs}$ composite at $100 \text{ mAh}\cdot\text{g}^{-1}$ in the voltage range of 2.4~4.3 V (vs. Li^+/Li^-)

电过程脱出的锂在放电过程中没有完全嵌入，这是 o-LiMnO_2 由斜方结构向尖晶石结构转变，阻碍了锂离子的扩散路径所致。随着循环的进行，相变逐渐完成，锂离子的传输路径重新恢复，与之对应的比容量也逐渐增加^[23]，从图 8 中充放电后的 XRD 图谱也可以看出尖晶石相 $\text{Li}_2\text{Mn}_2\text{O}_4$ 的存在。

为比较碳纳米管改性对提高 o-LiMnO_2 电化学性能的效果及影响机制按照上述配比，称取一定量水热制备的 o-LiMnO_2 和商业化 CNTs 研磨充分混合，按相同工序制成电池正极(o-LiMnO_2 +CNTs)并组装成模拟电池，其循环稳定性如图 5a 所示。研磨混有 CNTs 后， o-LiMnO_2 电化学储锂性能得以改善，首次放电容量可达 $93.5 \text{ mAh} \cdot \text{g}^{-1}$ ，40 周后增加至 $148.9 \text{ mAh} \cdot \text{g}^{-1}$ ，循环 100 周后为 $113.5 \text{ mAh} \cdot \text{g}^{-1}$ ，但从 40 周开始比容量逐渐降低，且降低速度较 o-LiMnO_2 /CNTs 明显。可见，直接掺混碳纳米管虽可提高 o-LiMnO_2 放电容量，但是循环稳定性没有水热反应直接形成的 o-LiMnO_2 /CNTs 复合材料好。

图 6 为 o-LiMnO_2 和 o-LiMnO_2 /CNTs 复合材料不同周次充放电曲线。 o-LiMnO_2 在充电过程中相变过程为： $\text{o-LiMnO}_2 \rightarrow$ 无序化岩盐结构 \rightarrow 尖晶石结构， o-LiMnO_2 自身电化学活性较差，但其发生相变后生成的岩盐结构和尖晶石结构活性较好^[24]。2 种材料

首周充电曲线有明显差异， o-LiMnO_2 在 3.2 V 附近出现较短的充电平台，也有类似的报道^[25]，可能原因是此方法合成的 o-LiMnO_2 导电性较差，首周活化过程中，相变较 o-LiMnO_2 /CNTs 慢。 o-LiMnO_2 在 $4.3 \sim 3.6 \text{ V}$ 无显著放电平台，经多周活化后，在 3.8 V 出现新的放电平台，而主要放电平台为 2.7 V 左右^[17]。经过 CNTs 改性后形成的复合材料，活化 5 周后，在 4.1 和 3.95 V 出现放电平台，而主要放电平台电压也增加至 2.8 V 。

o-LiMnO_2 放电总容量由两部分贡献，也即锂嵌入 LiMn_2O_4 八面体空穴（图 6b 中 $3.2 \sim 4.3 \text{ V}$ 区间）和四面体空穴的过程^[26]（图 6b 中 $2.4 \sim 3.2 \text{ V}$ 区间）。为进一步理解碳纳米管在 o-LiMnO_2 充放电中的作用，将不同周次的放电容量分为两部分（表 1），从表中可看出， o-LiMnO_2 与 o-LiMnO_2 /CNTs 在 $2.4 \sim 3.2 \text{ V}$ 区间放电比容量相差不大，而在 $3.2 \sim 4.3 \text{ V}$ 区间， o-LiMnO_2 /CNTs 相比 o-LiMnO_2 比容量有明显提高，可见 CNTs 改性可使锂更快捷嵌入 LiMn_2O_4 的八面体空穴，提高其放电比容量。

2.3 o-LiMnO₂ 充放电过程

图 7 为 o-LiMnO_2 和 o-LiMnO_2 /CNTs 复合材料的循环伏安曲线。氧化还原电流峰 a/a' (3.9 V) 和 b/b' (4.1 V) 分别为 $\text{LiMn}_2\text{O}_4 \rightleftharpoons \text{MnO}_2$ 相互转化过程中锂离

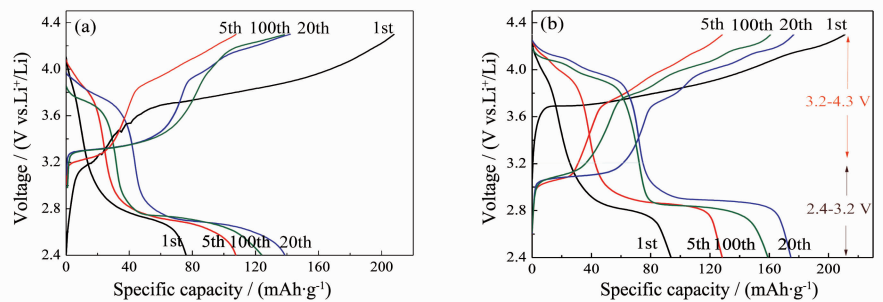


图 6 o-LiMnO_2 (a) 和 o-LiMnO_2 /CNTs(b) 复合材料不同周次充放电曲线

Fig.6 Charge /discharge profiles of o-LiMnO_2 (a) and o-LiMnO_2 /CNTs(b) composite at different cycles

表 1 不同样品在 $2.4 \sim 3.2 \text{ V}$ 与 $3.2 \sim 4.3 \text{ V}$ 区间放电比容量贡献

Table 1 Capacity contributions from $2.4 \sim 3.2 \text{ V}$ and $3.2 \sim 4.3 \text{ V}$ regions for different samples

Cycle number	Discharge capacities / ($\text{mAh} \cdot \text{g}^{-1}$)			
	o-LiMnO_2	$2.4 \sim 3.2 \text{ V}$	o-LiMnO_2 /CNTs	$2.4 \sim 3.2 \text{ V}$
5	3.2~4.3 V	25.0	2.4~3.2 V	42.7
20	3.4	82.6	3.2~4.3 V	5.6
100	31.7	95.4	2.4~3.2 V	9.3
		92.5	75.3	6.8
		72.3		

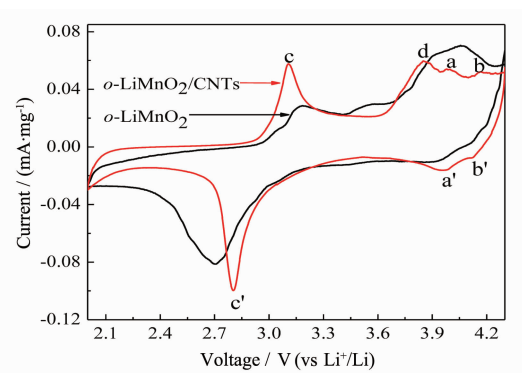


图 7 $o\text{-LiMnO}_2$ 和 $o\text{-LiMnO}_2/\text{CNTs}$ 复合材料循环伏安曲线

Fig.7 CV curves of $o\text{-LiMnO}_2$ and $o\text{-LiMnO}_2/\text{CNTs}$ composite at scan rate of $0.1 \text{ mV}\cdot\text{s}^{-1}$

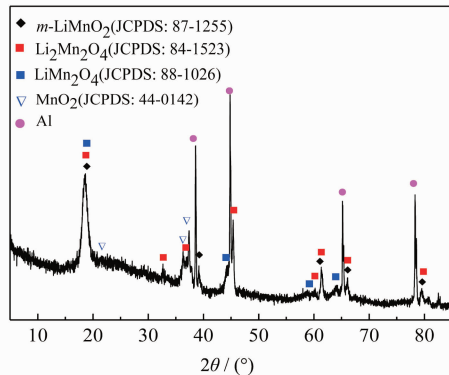


图 8 $o\text{-LiMnO}_2$ 电极充放电 100 周后产物 XRD 谱图

Fig.8 XRD patterns of intermediate product after 100 cycles charge-discharge test of $o\text{-LiMnO}_2$

子可逆的脱出和嵌入行为, 氧化还原电流峰 c/c' (3.2 V/2.7 V)主要为 $\text{LiMn}_2\text{O}_4 \rightleftharpoons \text{Li}_2\text{Mn}_2\text{O}_4$ 相互转化过程中锂离子的嵌入和脱出过程^[27-28]。这与 XRD(图 8)结果一致。比较发现, $o\text{-LiMnO}_2/\text{CNTs}$ 复合材料氧化电位发生负移及还原电位正移, 该结果与充放电容量及平台变化规律一致, 进一步说明经过碳纳米管改性后电阻降低, 电化学活性增强。

图 9 所示为不同活性电极材料组装电池交流阻抗谱图。可见, 形成 $o\text{-LiMnO}_2/\text{CNTs}$ 复合材料后, $o\text{-LiMnO}_2$ 反应电阻由约 260Ω 降低至近 210Ω 。该结果进一步明确 CNTs 改性可降低反应电阻并提高相应电化学容量和稳定性。掺杂金属离子 Co、Cr、Al 可改变 LiMnO_2 晶粒形貌和晶胞参数, 进而改善放电容量和循环稳定性^[29], 而本实验中通过碳纳米管改性也可有效提高 $o\text{-LiMnO}_2$ 电化学储锂容量和循环稳定性。

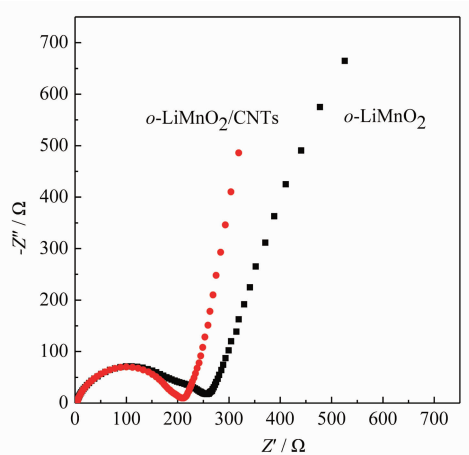


图 9 $o\text{-LiMnO}_2$ 和 $o\text{-LiMnO}_2/\text{CNTs}$ 电极材料 Nyquist 曲线

Fig.9 Nyquist curves of $o\text{-LiMnO}_2$ and $o\text{-LiMnO}_2/\text{CNTs}$ composite

3 结 论

采用水热法一步合成锂离子电池正极材料 $o\text{-LiMnO}_2$ 及其碳纳米管改性的 $o\text{-LiMnO}_2/\text{CNTs}$ 复合材料。在水热体系中 $n_{\text{Li}}/n_{\text{Mn}}$ 可降低至 8:1, 经 180°C 反应 24 h 得到目标产物。反应体系中添加 EDTA、提高水热温度有利于生成目标产物。充放电过程中, $o\text{-LiMnO}_2$ 可转化生成 $m\text{-LiMnO}_2$ 、 $\text{Li}_2\text{Mn}_2\text{O}_4$ 和 MnO_2 混合物。研磨掺混碳纳米管能提高 $o\text{-LiMnO}_2$ 电化学性能, 而水热改性形成的 $o\text{-LiMnO}_2/\text{CNTs}$ 复合材料增强 $o\text{-LiMnO}_2$ 电导, 颗粒尺寸也变小, 相应充放电容量和循环稳定性增加, 首次放电容量为 $94.1 \text{ mAh}\cdot\text{g}^{-1}$, 经 20 周循环后趋于稳定, 100 周后容量保持为 $159.8 \text{ mAh}\cdot\text{g}^{-1}$ 。

参考文献:

- [1] Armand M, Tarascon J M. *Nature*, **2008**, *451*(7179):652-657
- [2] Liu C, Nan J M, Zuo X X, et al. *Int. J. Electrochem. Sci.*, **2012**, *7*(8):7152-7164
- [3] FAN Guang-Xin(范广新), ZENG Yue-Wu(曾跃武), CHEN Rong-Sheng(陈荣升), et al. *Chinese J. Inorg. Chem.*(无机化学学报), **2007**, *23*(6):963-968
- [4] LI Yi-Bing(李义兵), CHEN Bai-Zhen(陈白珍), HU Yong-Jun(胡拥军), et al. *Chinese J. Inorg. Chem.*(无机化学学报), **2006**, *22*(6):983-987
- [5] SU Zhi(粟智), YE Shi-Hai(叶世海), WANG Yong-Long(王永龙). *Chemistry(化学通报)*, **2009**, *72*(11):993-997
- [6] Guo Z P, Konstantinov K, Wang G X, et al. *J. Power*

- Sources, **2003,119-121**(1/2):221-225
- [7] Bruce P G, Armstrong A R, Gitzendanner P L. *J. Mater. Chem.*, **1999,9**(1):193-198
- [8] Xiao X L, Wang L, Wang D S, et al. *Nano Res.*, **2009,2**(12):923-930
- [9] Ji H M, Yang G, Miao X W, et al. *Electrochim. Acta*, **2010,55**(9):3392-3397
- [10] JIA Chun-Hui(家春晖), LU Dao-Rong(鲁道荣), HU De-Peng(胡德鹏). *Metallic Funct. Mater.*(金属功能材料), **2012,19**(2):26-30
- [11] Xie J L, Huang X, Zhu Z B, et al. *Ceram. Int.*, **2011,37**(1):419-421
- [12] He Y, Feng Q, Zhang S Q, et al. *ACS Sustainable Chem. Eng.*, **2013,1**(6):570-573
- [13] Huang X K, Zhang Q S, Chang H T, et al. *J. Electrochem. Soc.*, **2009,156**(3):A162-A168
- [14] Qiu G H, Gao Z Y, Yin H, et al. *Solid State Sci.*, **2010,12**(5):808-813
- [15] Yin H, Liu F, Chen X H, et al. *Microporous Mesoporous Mater.*, **2012,153**:115-123
- [16] Qiu G H, Huang H, Dharmarathna S, et al. *Chem. Mater.*, **2011,23**(17):3892-3901
- [17] Chen S L, Cao F F, Liu F, et al. *RSC Adv.*, **2014,4**(26):13693-13703
- [18] Stobinski L, Lesiak B, Kover L, et al. *J. Alloys Compd.*, **2010,501**(1):77-84
- [19] Riley L A, Atta S V, Cavanagh A S, et al. *J. Power Sources*, **2011,196**(6):3317-3324
- [20] Chitra S, Kalyani P, Mohan T, et al. *J. Electroceram.*, **1999,3**(4):433-441
- [21] Croguennec L, Deniard P, Brec R, et al. *J. Mater. Chem.*, **1995,5**(11):1919-1925
- [22] WANG Lu(王禄), MA Wei(马伟), HAN Mei(韩梅), et al. *Acta Chim. Sinica*(化学学报), **2007,65**(12):1135-1139
- [23] Yi J, Huang B Y, Wang H F, et al. *J. Electrochem. Soc.*, **1999,146**:3217-3223
- [24] FAN Guang-Xi(范广新), ZENG Yue-Wu(曾跃武), CHEN Rong-Sheng(陈荣升), et al. *Chinese J. Inorg. Chem.*(无机化学学报), **2008,24**(6):944-949
- [25] Ji H M, Yang G, Miao X W, et al. *Electrochim. Acta*, **2010,55**:3392-3397
- [26] Nagasubramanian A, Yu D Y W, Hoster H, et al. *J. Solid State Electrochem.*, **2014,18**:1915-1922
- [27] Cook J B, Kim C J, Xu L P, et al. *J. Electrochem. Soc.*, **2013,160**(1):A46-A52
- [28] Wu C, Wang Z X, Wu F, et al. *Solid State Ionics*, **2001,144**(3/4):277-285
- [29] CHEN Shang(陈上), WU Xian-Ming(吴显明), LIU Jian-Ben(刘建本), et al. *J. Funct. Mater.*(功能材料), **2009,12**(40):1964-1966